

УДК 539.3

УПРУГОПЛАСТИЧЕСКИЙ НЕОСЕСИММЕТРИЧНЫЙ УДАР ПАРАБОЛИЧЕСКОГО ТЕЛА ПО СФЕРИЧЕСКОЙ ОБОЛОЧКЕ

Д. Г. Бирюков, И. Г. Кадомцев

Ростовский государственный университет, 344090 Ростов-на-Дону

E-mail: diminna@mail.ru

Изложен способ расчета сферической оболочки при неосесимметричном ударе массивного тела. Используются безмоментные уравнения движения оболочки, решение которых получено с помощью преобразования Лапласа и асимптотического метода разложения искомых величин по малому параметру. Контактная сила взаимодействия $P(t)$ определялась на основе упругопластической модели местного смятия для параболического ударника. Результаты решения представлены в виде графиков. Достоверность полученных результатов подтверждается хорошим совпадением решения с предельными случаями — осесимметричным ударом и ударом по полупространству.

Ключевые слова: контактная задача, упругопластический удар, параболическое тело, сферическая оболочка.

Рассмотрим неосесимметричный нормальный удар массивного тела по круговому сектору сферической оболочки, шарнирно опертой по контуру. Общие перемещения оболочки считаем упругими, а местные, в зоне контакта тела с оболочкой, — упругопластическими. В начальный момент времени оболочка находится в покое, а тело обладает скоростью V_0 , которая много меньше скорости упругих волн в оболочке. Это позволяет пренебречь инерцией местного смятия в области контакта. В результате зависимость местного смятия α от контактной силы P можно определять так же, как и в статической задаче.

Направим координатные линии по меридиану φ и параллели θ . Удар происходит в точке $(\varphi_1, 0)$ телом массы m с упругими постоянными E_2, ν_2 , пластической постоянной k_2 и радиусом кривизны в точке контакта R_2 . Угол раствора купола оболочки — φ_0 .

Если обозначить нормальное перемещение оболочки в точке контакта через w , а перемещение падающего тела — через s , то имеет место зависимость [1]

$$s = w + \alpha. \tag{1}$$

Перемещение ударника s определяем из дифференциального уравнения движения тела $m\ddot{s} = -P(t)$, интегрируя которое с учетом начальных условий $s_0 = 0, \dot{s}_0 = V_0$, получаем

$$s(t) = V_0 t - \frac{1}{m} \int_0^t \int_0^{t_1} P(t_2) dt_1 dt_2. \tag{2}$$

Перемещение оболочки под действием силы $P(t)$ определим из безмоментных уравнений движения сферической оболочки, которые имеют вид [2]

$$\begin{aligned} (N_\varphi \sin \varphi)_{,\varphi} + N_{\varphi\theta,\theta} - N_\theta \cos \varphi &= \rho h R_1 \ddot{u}_\varphi \sin \varphi, \\ (N_{\varphi\theta} \sin \varphi)_{,\varphi} + N_{\theta,\theta} + N_{\varphi\theta} \cos \varphi &= \rho h R_1 \ddot{u}_\theta \sin \varphi, \\ N_\varphi + N_\theta &= -\rho h R_1 \ddot{w} + q_3 R_1, \end{aligned} \tag{3}$$

где

$$\begin{aligned} N_\varphi &= E_1 h ((1 - \nu_1^2) R_1)^{-1} (u_{,\varphi\varphi} + w + \nu_1 (u_\varphi \operatorname{ctg} \varphi + u_{,\theta\theta} \sin^{-1} \varphi + w)), \\ N_\theta &= E_1 h ((1 - \nu_1^2) R_1)^{-1} (u_\varphi \operatorname{ctg} \varphi + u_{,\theta\theta} \sin^{-1} \varphi + w + \nu_1 (u_{,\varphi\varphi} + w)), \\ N_{\varphi\theta} &= E_1 h (2(1 + \nu_1) R_1)^{-1} (u_{,\theta\varphi} - u_\theta \operatorname{ctg} \varphi + u_{,\varphi\theta} \sin^{-1} \varphi). \end{aligned}$$

Здесь ρ — плотность материала; h , R_1 — толщина и радиус оболочки; q_3 — нагрузка; E_1 , ν_1 — упругие постоянные оболочки. Пластическую постоянную оболочки обозначим k_1 .

Принимаются граничные условия

$$u_\varphi|_{\varphi=\varphi_0} = 0, \quad w|_{\varphi=\varphi_0} = 0. \quad (4)$$

Введем следующие безразмерные величины:

$$v = \frac{u_\varphi}{R_1}, \quad u = \frac{u_\theta}{R_1}, \quad w = \frac{w}{R_1}, \quad \tau = \frac{tc}{R_1}, \quad c^2 = \frac{E_1}{(1 - \nu_1^2)\rho}.$$

Тогда после исключения усилий N_φ , N_θ , $N_{\varphi\theta}$ система (3) примет вид

$$\begin{aligned} v_{,\varphi\varphi} \sin \varphi + 0,5(1 - \nu_1)v_{,\theta\theta} \sin^{-1} \varphi + 0,5(1 + \nu_1)u_{,\theta\varphi} + v_{,\varphi} \cos \varphi - \\ - (\operatorname{ctg} \varphi \cos \varphi + \nu_1 \sin \varphi)v - 0,5(3 - \nu_1)u_{,\theta} \operatorname{ctg} \varphi + (1 + \nu_1)w_{,\varphi} \sin \varphi = v_{,\tau\tau} \sin \varphi, \\ 0,5(1 - \nu_1)u_{,\varphi\varphi} \sin \varphi + u_{,\theta\theta} \sin^{-1} \varphi + 0,5(1 + \nu_1)v_{,\theta\varphi} + 0,5(1 - \nu_1)u_{,\varphi} \cos \varphi + \\ + 0,5(1 - \nu_1)(\sin \varphi - \operatorname{ctg} \varphi \cos \varphi)u + 0,5(3 - \nu_1)v_{,\theta} \operatorname{ctg} \varphi + (1 + \nu_1)w_{,\theta} = u_{,\tau\tau} \sin \varphi, \\ (1 + \nu_1)(v_{,\varphi} + v \operatorname{ctg} \varphi + 2w + u_{,\theta} \sin^{-1} \varphi) = -w_{,\tau\tau} + q, \end{aligned}$$

где $q = (1 - \nu_1^2)(E_1 h)^{-1} R_1 q_3$.

Сделаем замену $V = v \sin \varphi$, $U = u \sin \varphi$:

$$\begin{aligned} V_{,\varphi\varphi} + 0,5(1 - \nu_1)V_{,\theta\theta} \sin^{-2} \varphi + 0,5(1 + \nu_1)U_{,\theta\varphi} \sin^{-1} \varphi - V_{,\varphi} \operatorname{ctg} \varphi + \\ + (1 - \nu_1)V - 2U_{,\theta} \cos \varphi \sin^{-2} \varphi + (1 + \nu_1)w_{,\varphi} \sin \varphi = V_{,\tau\tau}, \\ 0,5(1 - \nu_1)U_{,\varphi\varphi} + U_{,\theta\theta} \sin^{-2} \varphi + 0,5(1 + \nu_1)V_{,\theta\varphi} \sin^{-1} \varphi - 0,5(1 - \nu_1)U_{,\varphi} \operatorname{ctg} \varphi + \\ + (1 - \nu_1)U + (1 - \nu_1)V_{,\theta} \cos \varphi \sin^{-2} \varphi + (1 + \nu_1)w_{,\theta} = U_{,\tau\tau}, \\ (1 + \nu_1)(V_{,\varphi} \sin^{-1} \varphi + 2w + U_{,\theta} \sin^{-2} \varphi) = -w_{,\tau\tau} + q. \end{aligned}$$

Применяя преобразование Лапласа по времени t и обозначив изображения V , U , w и q через V^* , U^* , w^* и q^* соответственно, получим

$$\begin{aligned} V_{,\varphi\varphi}^* + 0,5(1 - \nu_1)V_{,\theta\theta}^* \sin^{-2} \varphi + 0,5(1 + \nu_1)U_{,\theta\varphi}^* \sin^{-1} \varphi - \\ - V_{,\varphi}^* \operatorname{ctg} \varphi + (1 - \nu_1 - p^2)V^* - 2U_{,\theta}^* \cos \varphi \sin^{-2} \varphi + (1 + \nu_1)w_{,\varphi}^* \sin \varphi = 0, \\ 0,5(1 - \nu_1)U_{,\varphi\varphi}^* + U_{,\theta\theta}^* \sin^{-2} \varphi + 0,5(1 + \nu_1)V_{,\theta\varphi}^* \sin^{-1} \varphi - 0,5(1 - \nu_1)U_{,\varphi}^* \operatorname{ctg} \varphi + \\ + (1 - \nu_1 - p^2)U^* + (1 - \nu_1)V_{,\theta}^* \cos \varphi \sin^{-2} \varphi + (1 + \nu_1)w_{,\theta}^* = 0, \\ (1 + \nu_1)(V_{,\varphi}^* \sin^{-1} \varphi + (2 + p^2(1 + \nu_1)^{-1})w^* + U_{,\theta}^* \sin^{-2} \varphi) = q^*. \end{aligned} \quad (5)$$

Из третьего уравнения находим выражение для $U_{,\theta}^*$:

$$U_{,\theta}^* = (q^* - (1 + \nu_1)V_{,\varphi}^* \sin^{-1} \varphi - (2(1 + \nu_1) + p^2)w^*)(1 + \nu_1)^{-1} \sin^{-2} \varphi.$$

Подставим U_{θ}^* в (5), предварительно продифференцировав второе уравнение по θ . В результате система примет следующий вид:

$$\begin{aligned}
 & 0,5(1 - \nu_1)V_{,\varphi\varphi}^* + 0,5(1 - \nu_1)V_{,\theta\theta}^* \sin^{-2} \varphi + 0,5(1 - \nu_1)V_{,\varphi}^* \operatorname{ctg} \varphi + (1 - \nu_1 - p^2)V^* - \\
 & \quad - 0,5p^2w_{,\varphi}^* \sin \varphi + (1 - \nu_1)(2 + p^2(1 + \nu_1)^{-1})w^* \cos \varphi + \\
 & \quad \quad \quad + 0,5q_{,\varphi}^* \sin \varphi - (1 - \nu_1)(1 + \nu_1)^{-1}q^* \cos \varphi = 0, \\
 & -0,5(1 - \nu_1^2)V_{,\varphi\varphi\varphi}^* \sin \varphi - 0,5(1 - \nu_1^2)V_{,\theta\theta\varphi}^* \sin^{-1} \varphi + (1 - \nu_1^2)V_{,\theta\theta}^* \operatorname{ctg} \varphi - \\
 & \quad - 0,5(1 - \nu_1^2)V_{,\varphi\varphi}^* \cos \varphi + ((1 + \nu_1)p^2 \sin \varphi + 0,5(1 - \nu_1^2)(\cos^2 \varphi - \sin^2 \varphi) \sin^{-1} \varphi)V_{,\varphi}^* - \\
 & \quad - 0,5(1 - \nu_1)(2(1 + \nu_1) + p^2)w_{,\varphi\varphi}^* \sin^2 \varphi + ((1 + \nu_1)^2 - (2(1 + \nu_1) + p^2))w_{,\theta\theta}^* - \\
 & \quad - 1,5(1 - \nu_1)(2(1 + \nu_1) + p^2)w_{,\varphi}^* \sin \varphi \cos \varphi + p^2(2(1 + \nu_1) + p^2)w^* \sin^2 \varphi + \\
 & \quad \quad \quad + 0,5(1 - \nu_1)q_{,\varphi\varphi}^* \sin^2 \varphi + q_{,\theta\theta}^* + 1,5(1 - \nu_1)q_{,\varphi}^* \sin \varphi \cos \varphi - p^2q^* \sin^2 \varphi = 0.
 \end{aligned} \tag{6}$$

Решение (6) ищем в виде рядов по полиномам Лежандра, которые удовлетворяют граничным условиям (4):

$$\begin{aligned}
 w^* &= \sum_{n=0}^{\infty} \sum_{m=0}^{\infty} w_{2n+1m} P_{2n+1}(\cos \delta_1 \varphi) \cos m\theta, \\
 V^* &= \sum_{n=0}^{\infty} \sum_{m=0}^{\infty} V_{2n+1m} P_{2n+1}(\cos \delta_1 \varphi) \cos m\theta, \quad \delta_1 = \pi/(2\varphi_0).
 \end{aligned}$$

Нагрузку $q(t, \varphi, \theta)$ от сосредоточенной силы $P(t)\delta(\varphi - \varphi_1)\delta(\theta - 0)$ также раскладываем в ряд по полиномам Лежандра:

$$\begin{aligned}
 q &= \frac{P(t)}{2\pi R_1^2(1 - \cos \varphi_0)} \sum_{n=0}^{\infty} \sum_{m=0}^{\infty} (4n + 3)P_{2n+1}(\cos \delta_1 \varphi_1)P_{2n+1}(\cos \delta_1 \varphi) \cos m\theta, \\
 q^* &= \frac{P^*(p)}{2\pi R_1^2(1 - \cos \varphi_0)} \sum_{n=0}^{\infty} \sum_{m=0}^{\infty} (4n + 3)P_{2n+1}(\cos \delta_1 \varphi_1)P_{2n+1}(\cos \delta_1 \varphi) \cos m\theta.
 \end{aligned}$$

Подставив разложения w^* , V^* и q^* в (6) и используя свойство ортогональности системы косинусов на отрезке $[-\pi, \pi]$, получим

$$\begin{aligned}
 & 0,5(1 - \nu_1) \sum_{n=0}^{\infty} V_{2n+1m} P_{2n+1,\varphi\varphi} - 0,5(1 - \nu_1)m^2 \sin^{-2} \varphi \sum_{n=0}^{\infty} V_{2n+1m} P_{2n+1} + \\
 & \quad + 0,5(1 - \nu_1) \operatorname{ctg} \varphi \sum_{n=0}^{\infty} V_{2n+1m} P_{2n+1,\varphi} + (1 - \nu_1 - p^2) \sum_{n=0}^{\infty} V_{2n+1m} P_{2n+1} - \\
 & - 0,5p^2 \sin \varphi \sum_{n=0}^{\infty} w_{2n+1m} P_{2n+1,\varphi} + (1 - \nu_1)(2 + p^2(1 + \nu_1)^{-1}) \cos \varphi \sum_{n=0}^{\infty} w_{2n+1m} P_{2n+1} + \\
 & \quad \quad \quad + 0,5C \sin \varphi \sum_{n=0}^{\infty} (4n + 3)P_{2n+1}(\cos \delta_1 \varphi_1)P_{2n+1,\varphi} - \\
 & \quad \quad \quad - (1 - \nu_1)(1 + \nu_1)^{-1}C \cos \varphi \sum_{n=0}^{\infty} (4n + 3)P_{2n+1}(\cos \delta_1 \varphi_1)P_{2n+1} = 0,
 \end{aligned}$$

$$\begin{aligned}
& -0,5(1 - \nu_1^2) \sin \varphi \sum_{n=0}^{\infty} V_{2n+1m} P_{2n+1, \varphi \varphi} + 0,5(1 - \nu_1^2) m^2 \sin^{-1} \varphi \sum_{n=0}^{\infty} V_{2n+1m} P_{2n+1, \varphi} - \\
& - (1 - \nu_1^2) m^2 \operatorname{ctg} \varphi \sum_{n=0}^{\infty} V_{2n+1m} P_{2n+1} - 0,5(1 - \nu_1^2) \cos \varphi \sum_{n=0}^{\infty} V_{2n+1m} P_{2n+1, \varphi} + \\
& + ((1 + \nu_1) p^2 \sin \varphi + 0,5(1 - \nu_1^2) (\cos^2 \varphi - \sin^2 \varphi) \sin^{-1} \varphi) \sum_{n=0}^{\infty} V_{2n+1m} P_{2n+1, \varphi} - \\
& - 0,5(1 - \nu_1) (2(1 + \nu_1) + p^2) \sin^2 \varphi \sum_{n=0}^{\infty} w_{2n+1m} P_{2n+1, \varphi} + \\
& + ((1 + \nu_1)^2 - (2(1 + \nu_1) + p^2)) m^2 \sum_{n=0}^{\infty} w_{2n+1m} P_{2n+1} - \\
& - 1,5(1 - \nu_1) (2(1 + \nu_1) + p^2) \sin \varphi \cos \varphi \sum_{n=0}^{\infty} w_{2n+1m} P_{2n+1, \varphi} + \\
& + p^2 \sin^2 \varphi (2(1 + \nu_1) + p^2) \sum_{n=0}^{\infty} w_{2n+1m} P_{2n+1} + \\
& + 0,5(1 - \nu_1) C \sin^2 \varphi \sum_{n=0}^{\infty} (4n + 3) P_{2n+1}(\cos \delta_1 \varphi_1) P_{2n+1, \varphi} - \\
& - m^2 C \sum_{n=0}^{\infty} (4n + 3) P_{2n+1}(\cos \delta_1 \varphi_1) P_{2n+1} + \\
& + 1,5(1 - \nu_1) C \sin \varphi \cos \varphi \sum_{n=0}^{\infty} (4n + 3) P_{2n+1}(\cos \delta_1 \varphi_1) P_{2n+1, \varphi} - \\
& - p^2 C \sin^2 \varphi \sum_{n=0}^{\infty} (4n + 3) P_{2n+1}(\cos \delta_1 \varphi_1) P_{2n+1} = 0.
\end{aligned} \tag{7}$$

Здесь $C = P^*(p)(2\pi R_1^2(1 - \cos \varphi_0))^{-1}$, $P_{2n+1} = P_{2n+1}(\cos \delta_1 \varphi)$.

Коэффициенты V_{2n+1m} , w_{2n+1m} находим с помощью метода малого параметра $\varepsilon = p^{-2}$. Отметим, что с помощью этого метода Н. А. Кильчевский исследовал удар по произвольной бесконечной оболочке без учета граничных условий и получил ряд качественных результатов [3]. Представим искомые величины в виде

$$\begin{aligned}
V_{2n+1m}(p) &= V_{2n+1m}^0 \varepsilon^0 + V_{2n+1m}^1 \varepsilon^1 + V_{2n+1m}^2 \varepsilon^2 + O(\varepsilon^3), \\
w_{2n+1m}(p) &= w_{2n+1m}^0 \varepsilon^0 + w_{2n+1m}^1 \varepsilon^1 + w_{2n+1m}^2 \varepsilon^2 + O(\varepsilon^3).
\end{aligned}$$

Подставляя эти разложения в систему (7) и собирая коэффициенты при одинаковых степенях ε , находим V_{2n+1m}^i , w_{2n+1m}^i , $i = 0, 1, 2$. Для w_{2n+1m} получаем

$$w_{2n+1m}(p) = C(4n + 3) P_{2n+1}(\cos \delta_1 \varphi_1) (p^{-2} - 2(1 + \nu_1) p^{-4}) + O(\varepsilon^3).$$

После применения обратного преобразования Лапласа для перемещения оболочки w , учитывая первые три члена разложения по $(\tau - \tau_1)$, имеем

$$\begin{aligned}
w(\varphi, \theta, \tau) &= \frac{1 - \nu_1^2}{2\pi h E_1 R_1 (1 - \cos \varphi_0)} \int_0^\tau \sum_{n=0}^{\infty} \sum_{m=0}^{\infty} (4n + 3) P(\tau_1) \left((\tau - \tau_1) - \frac{2}{3!} (1 + \nu_1) (\tau - \tau_1)^3 \right) \times \\
&\quad \times P_{2n+1}(\cos \delta_1 \varphi_1) P_{2n+1}(\cos \delta_1 \varphi) \cos m\theta d\tau_1. \tag{8}
\end{aligned}$$

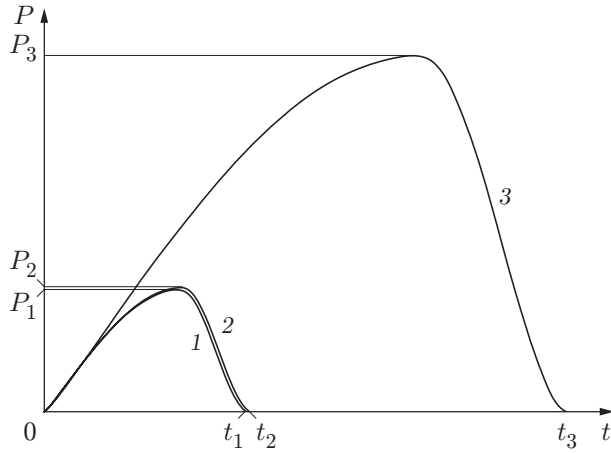


Рис. 1. Зависимости $P(t)$ при $\varphi_1 = 0,001$ рад:
 $P_1 = 18,5$ кН; $P_2 = 18,9$ кН; $P_3 = 54,4$ кН;
 $t_1 = 4,165 \cdot 10^{-5}$ с; $t_2 = 4,266 \cdot 10^{-5}$ с; $t_3 = 10,767 \cdot 10^{-4}$ с

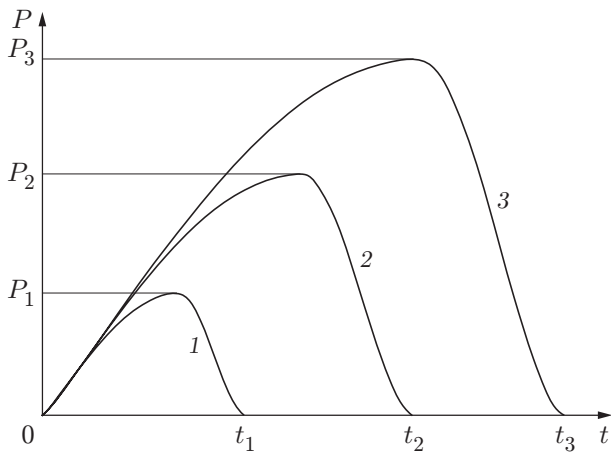


Рис. 2

Рис. 2. Зависимости $P(t)$ при $\varphi_1 = 0,01$ рад:

$P_1 = 18,5$ кН; $P_2 = 36,7$ кН; $P_3 = 54,4$ кН; $t_1 = 4,165 \cdot 10^{-5}$ с; $t_2 = 7,720 \cdot 10^{-5}$ с; $t_3 = 10,767 \cdot 10^{-4}$ с

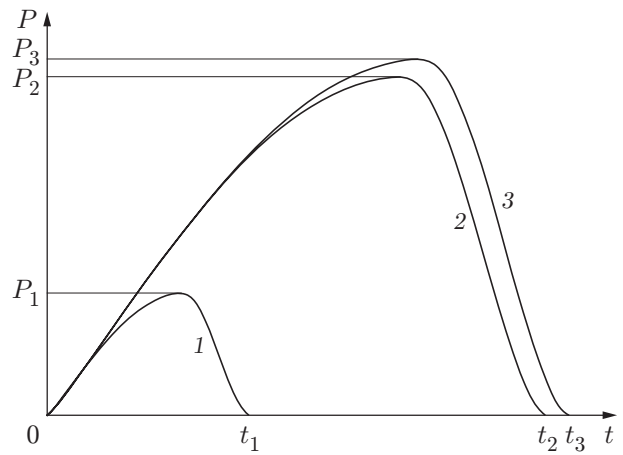


Рис. 3

Рис. 3. Зависимости $P(t)$ при $\varphi_1 = 0,1$ рад:

$P_1 = 18,5$ кН; $P_2 = 51,6$ кН; $P_3 = 54,4$ кН; $t_1 = 4,165 \cdot 10^{-5}$ с; $t_2 = 10,361 \cdot 10^{-4}$ с; $t_3 = 10,767 \cdot 10^{-4}$ с

Для α используем упругопластическую модель [4]:

$$\alpha = \begin{cases} bP^{2/3}, & dP/dt > 0, P_{\max} < P_1, \\ b_f P^{2/3} + \alpha_p(P_{\max}), & dP/dt < 0, P_{\max} > P_1, \\ (1 + \beta)c_1 P^{1/2} + (1 - \beta)Pd, & dP/dt > 0, P_{\max} > P_1, \end{cases} \quad (9)$$

где $b = (9/(16E^2R))^{1/3}$; $E = E_1E_2((1 - \nu_1^2)E_2 + (1 - \nu_2^2)E_1)^{-1}$; $R^{-1} = R_2^{-1} - R_1^{-1}$; $P_1 = \chi^3(3R/(4E))^2$; $\chi = \pi k\lambda$; k — наименьшая из двух пластических констант соударяющихся тел; $\lambda = 5,7$; $b_f = R_f^{-1/3}(3/(4E))^{2/3}$; $R_f = (4/3)EP_{\max}^{1/2}\chi^{-3/2}$; $\alpha_p(P_{\max}) = (1 - \beta)P_{\max}(2\chi R_p)^{-1}$; $R_p^{-1} = R^{-1} - R_f^{-1}$; $\beta = 0,33$; $c_1 = 3\chi^{1/2}(8E)^{-1}$; $d = (2\chi R)^{-1}$.

Подставив (2), (8) и (9) в (1), приходим к нелинейному интегральному уравнению относительно $P(t)$, которое решается по итерационной схеме Тимошенко [1, 5].

Результаты численного решения рассмотренной задачи приведены на рис. 1–3 в виде графиков зависимости $P(t)$ для следующих значений параметров задачи: $R_1 = 1$ м, $h =$

0,01 м, $\varphi_0 = 90^\circ$, $R_2 = 0,02$ м, $m = 0,25$ кг, материал — сталь. Скорость $V_0 = 10$ м/с. Кривая 1 на рисунках соответствует осесимметричному удару, 2 — неосесимметричному удару, 3 — удару по полупространству.

Из графиков видно, что при стремлении угла удара φ_1 к нулю сила взаимодействия $P(t)$ в неосесимметричном случае приближается к значению $P(t)$ в осесимметричном случае. И наоборот, при стремлении φ_1 к φ_0 происходит сближение графиков, соответствующих неосесимметричному случаю и случаю удара по полупространству. Физический смысл заключается в том, что при приближении точки удара к месту закрепления оболочка ведет себя более жестко.

ЛИТЕРАТУРА

1. Тимошенко С. П. Прочность и колебания элементов конструкций. М.: Наука, 1975.
2. Гольденвейзер А. Л. Теория упругих тонких оболочек. М.: Гостехиздат, 1953.
3. Кильчевский Н. А. Динамическое контактное сжатие твердых тел. Удар. Киев: Наук. думка, 1976.
4. Александров В. М., Кадомцев И. Г., Царюк Л. Б. Осесимметричные контактные задачи для упругопластических тел // Трение и износ. 1984. Т. 1, № 1. С. 16–26.
5. Бирюков Д. Г., Кадомцев И. Г. Динамический упругопластический контакт ударника и сферической оболочки // ПМТФ. 2002. Т. 43, № 5. С. 171–175.

*Поступила в редакцию 1/III 2004 г.,
в окончательном варианте — 22/VI 2004 г.*
